

Н.А. Бугаёва, аспирант кафедры маркингового дела Донецкого национального технического университета

СОПОСТАВЛЕНИЕ ОТКЛОНЕНИЙ ОСЕДАНИЙ ЗЕМНОЙ ПОВЕРХНОСТИ ПРИ СТОХАСТИЧЕСКОМ МОДЕЛИРОВАНИИ, НАТУРНЫХ ИЗМЕРЕНИЯХ И АНАЛИЗЕ РЕЗУЛЬТАТОВ ДРУГИХ ИССЛЕДОВАТЕЛЕЙ

Подавляющее большинство методик расчета параметров деформаций земной поверхности основаны на применении эмпирических методов [1, 2]. Однако существующая методика содержит недостатки, которые в данном случае связаны с использование коэффициента перегрузки при определении расчетных значений оседаний и деформаций земной поверхности [3]. В связи с этим автором было выполнено стохастическое моделирование для проверки влияния вариации физико-механических свойств горных пород на процесс сдвижения [4, 5], выполнены натурные измерения сдвигений земной поверхности [3], проведен анализ результатов других исследователей.

В данной статье приведено сопоставление результатов натурных измерений с модельными результатами и данными других исследователей.

На рис. 1 показано распределение оседаний земной поверхности при изменении всех физико-механических свойств пород одновременно при выполнении стохастического моделирования. Из рисунка видно, что наибольшая величина разброса случайных отклонений максимальна над средней частью выработанного пространства и составляет 150% ($\pm 75\%$) по отношению к максимальному оседанию, определенному в центре мульды. На переходе от выработанного пространства к массиву амплитуда разброса случайных отклонений уменьшается до значений 60-85% ($\pm 30-40\%$).

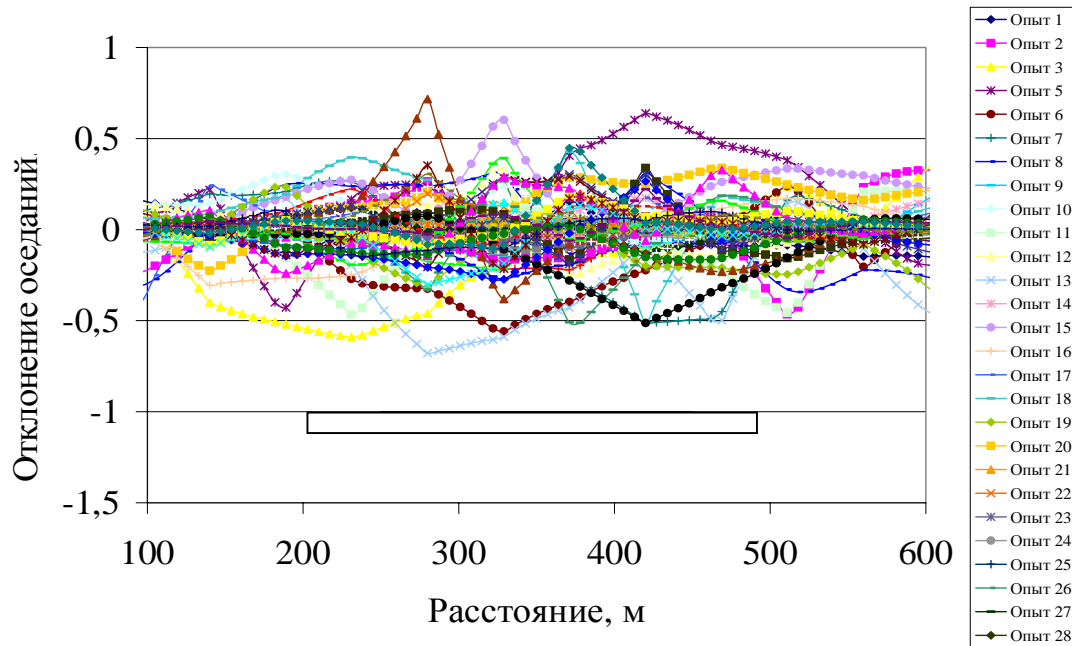


Рис. 1. Распределение величин отклонений оседаний земной поверхности с изменением всех физико-механических свойств пород

При натурных измерениях выполнялся мониторинг сдвигений земной поверхности при её подработке. Расположение профильной линии позволяет проследить за отклонениями оседаний над краевой частью мульды и над центром выработанного пространства. На рис. 2 приведен график отклонений оседаний вдоль профильной линии от линий тренда. По данному графику видно, что отклонение оседаний принимает максимальное значение над центром лавы и составляет $\pm 40\%$, а при переходе к краевым частям (причем в обе стороны относительно центра лавы) величины отклонений уменьшаются до $\pm 14\%$.

Таким образом, натурные измерения подтверждают полученные теоретические выводы исследований приобретенных с помощью стохастического моделирования, заключающиеся в том, что отклонение оседаний имеет место вдоль всей мульды сдвига, причем максимальное значение в центре лавы.

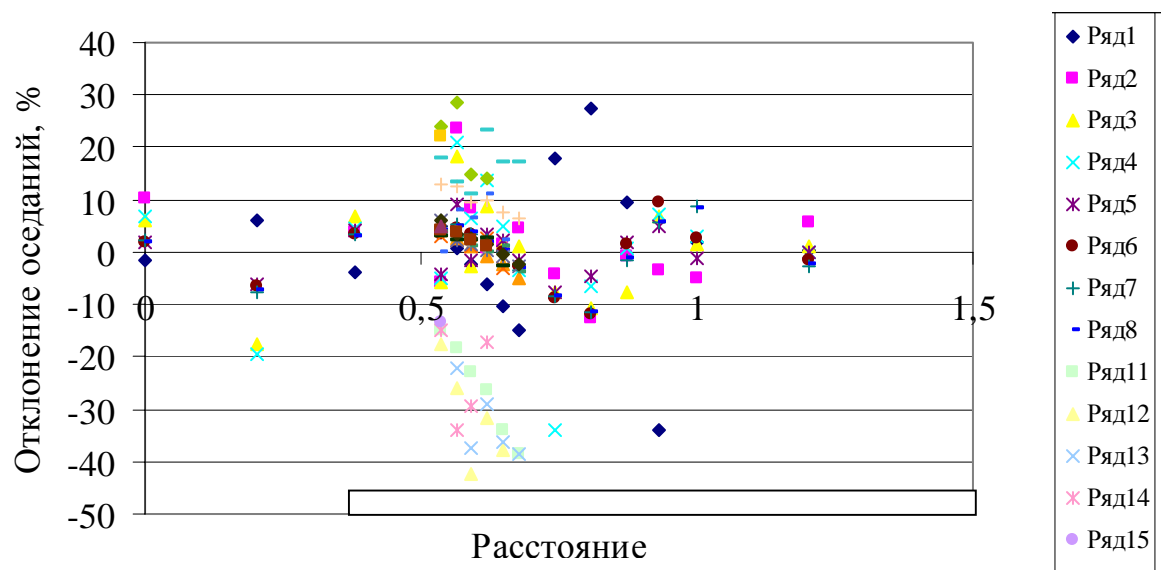


Рис. 2. График отклонений оседаний вдоль профильной линии

Для анализа результатов полученных другими исследователями было рассмотрено 15 станций, 22 профильных линий, диапазон длин лав при этом составил 60-1050 м, вынимаемая мощность – 0,55-3,5 м, глубина разработки угольного пласта – 80-1000 м, угол падения 5-18°. Для повышения достоверности целесообразно собрать все данные в одну выборку. Полученные данные необходимо было нормировать.

При использовании данных других исследователей разброс находился двумя методами. В первом случае разброс рассчитывали между фактическими результатами измерений и расчетными мульдами, полученными по нормативным методам. Во втором случае разброс отклонений оседаний и параметров деформаций находили между фактическими данными и лучшими аппроксимациями мульд, которые предлагали авторы статей. Это гарантирует, во-первых, что если разброс и был, то мы получали его минимально возможные

оценки, а во-вторых, что оценки разбросов являются достоверными и не имеют регулярной ошибки.

На рис. 3 приведено распределение отклонений оседаний земной поверхности вдоль профильных линий. В данном случае центр лавы всегда находился на уровне 1 по оси X.

Из рисунка видно, что над центром выработанного пространства разброс фактических оседаний от расчетных достигает значений $\pm 40\text{-}50\%$, а при переходе к массиву данный разброс уменьшается до показателей $\pm 20\%$. Наблюдаются единичные случаи, когда отклонение фактического значения от расчетного достигает значений $\pm 80\text{-}100\%$.

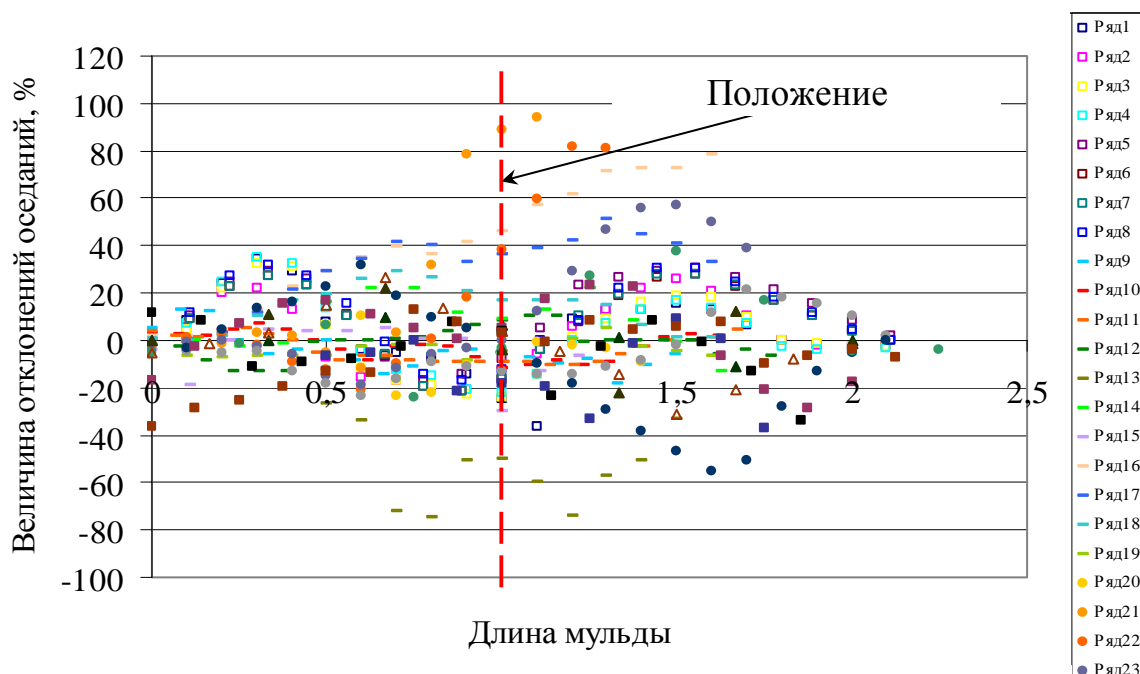


Рис. 3. Распределение отклонений оседаний земной поверхности, полученных по результатам других исследователей

На рис. 4 показан график отклонений оседаний земной поверхности, полученные при совместном анализе результатов других исследователей, стохастического моделирования и результатов полученных в ходе натурных измерений. На данном рисунке можно выделить область отклонений оседаний, где над центром выработанного пространства разброс оседаний составляет $\pm 40\text{-}50\%$, а при переходе к краю мульды сдвижения данный разброс уменьшается до значений $\pm 20\%$.

На рисунках 5-6 показаны гистограммы распределения случайных отклонений оседаний построенные по сечениям в центре выработанного пространства и на краевых частях по данным с рис. 4. Данные гистограммы подтверждают, что максимальный разброс оседаний наблюдается над центром выработанного пространства, а на краях полумульды минимален, но не равен нулю. При этом среднеквадратическое отклонение составляет 27% в центральной части выработанного пространства и 8% на краю мульды.

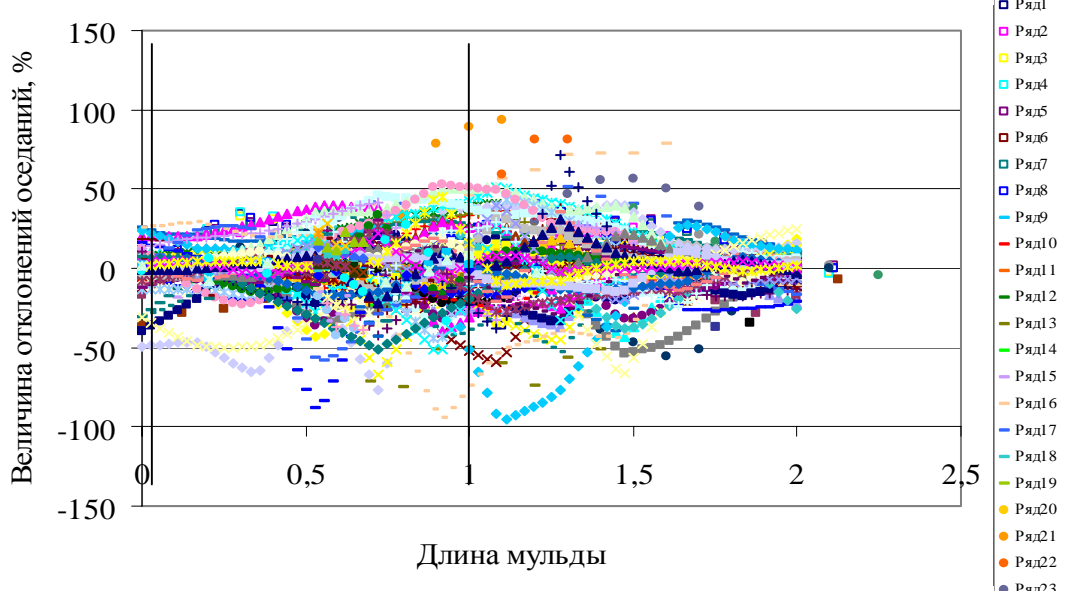


Рис. 4. Совместное распределение отклонений оседаний земной поверхности

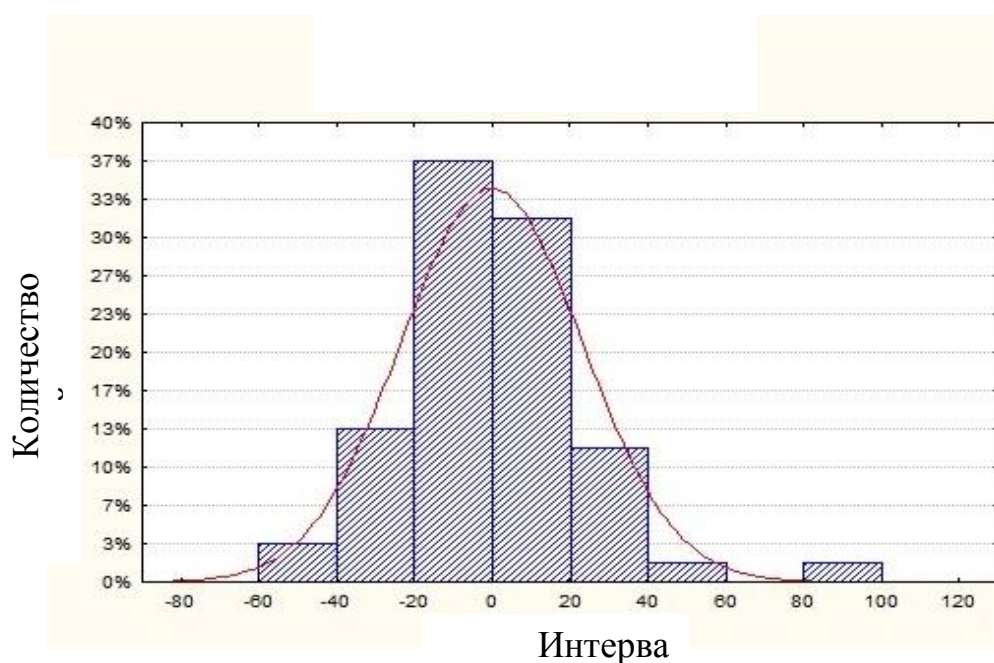


Рис. 5. Распределение случайных отклонений оседаний по разрезу AA на рис. 4

Таким образом, можно сказать с высокой достоверностью, что наблюдается следующая закономерность - максимальный разброс имеет место над центром выработанного пространства, а на краях полумульды минимален, но не равен нулю.

Вышеуказанные операции были проделаны для наклонов и кривизны, в результате чего наблюдается такая же закономерность разброса.

Далее для построения контура доверительных интервалов отклонений оседаний, наклонов и кривизны использовалась формула огибающей разброса ΔS , которая имеет следующий вид:

$$\Delta S = \pm A / (B + C * x^2)$$

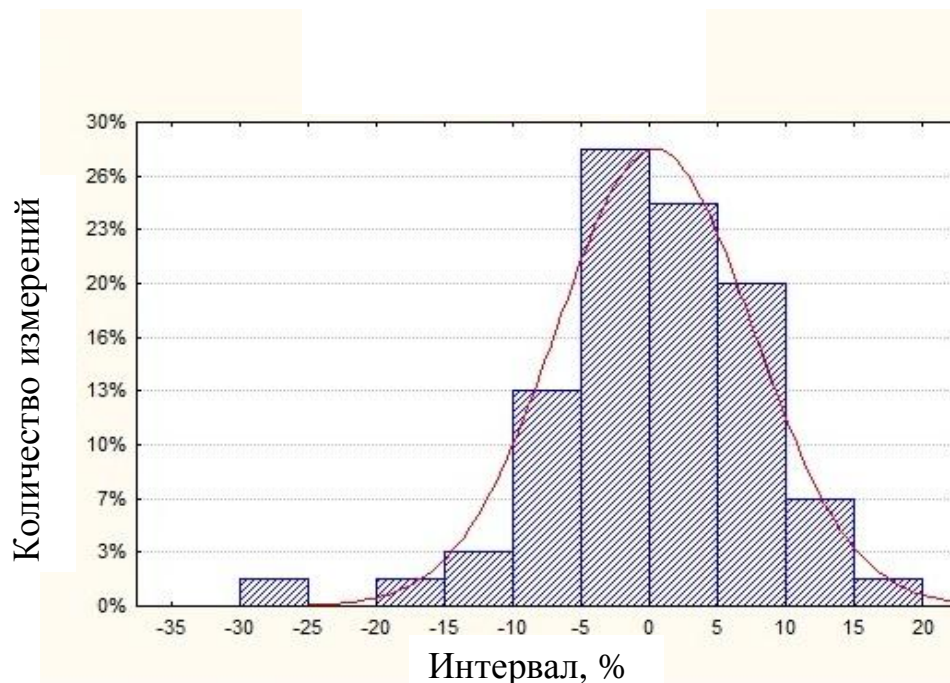


Рис. 6. Распределение случайных отклонений оседаний по разрезу BB на рис. 4

В таблице 1 приведены эмпирические коэффициенты, которые используются в зависимости (1) для описания S-образных форм доверительных двухсторонних интервалов разброса.

Таблица 1
Итоговая таблица эмпирических коэффициентов для одного среднеквадратического отклонения

№ п/п	Вид деформации	Эмпирические коэффициенты		
		A	B	C
1	Оседания	2,85	9	20
2	Наклоны	5,58	9	20
3	Кривизна	11	9	20

На рис. 7 показаны огибающие распределений величины разброса оседаний, наклонов и кривизны. В результате построения данных огибающих, получаем доверительный интервал двухсторонних отклонений, который дает возможность с заданной достоверностью определить возможную величину вариации оседаний, наклонов, кривизны в любой точке мульды сдвижений.

Величина максимального разброса в таком случае для оседаний составляет 32%, для наклонов 62%, а для кривизны 122% в средней части выработанного пространства. Причем на краю мульды сдвижений все

показатели составляют примерно треть от максимальных, наблюдаемых в центре лавы.

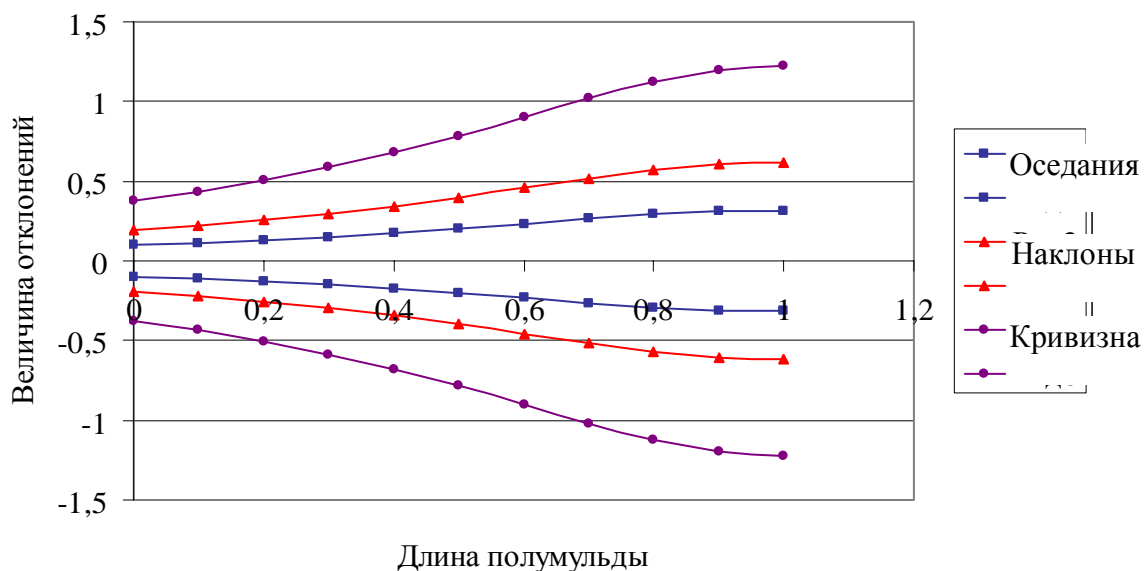


Рис. 7. Огибающие распределений величины разброса оседаний, наклонов и кривизны

ВЫВОДЫ

На основании анализа генеральной статистической выборки данных, полученной по результатам стохастического моделирования, инструментальных наблюдений выполненных автором, а также результатами независимых натурных экспериментов, осуществленных другими исследователями, установлены окончательные параметры естественного разброса величин оседаний и деформаций земной поверхности.

При этом разброс отклонений оседаний над центром выработанного пространства $\pm 40\text{-}50\%$, а при переходе к краю мульды сдвижения данный разброс уменьшается до значений $\pm 20\%$. Максимальное отклонение наклонов достигает величин $\pm 70\%$ в центре выработанного пространства и $\pm 50\%$ на краю мульды, а максимальное отклонение кривизны приходится на центр лавы и составляет $\pm 200\%$, а на краевых частях он равен $\pm 80\%$.

Таким образом, можно сказать, что над средней частью лавы разброс оседаний заметно больше, чем на краевых участках, хотя на краевых участках мульды разброс не является нулевым.

СПИСОК ССЫЛОК

1. Правила подработки зданий, сооружений и природных объектов при добыче угля подземным способом – Киев: Минтопэнерго Украины, 2004 – 128 с.
2. Кратч Г. Сдвижение горных пород и защита подрабатываемых сооружений; Пер. с нем. под ред. Р.А. Муллера и И.А. Петухова. – М.: Недра, 1978. – 496 с.



3. Бугаєва Н.А., Грищенков Н.Н., Назимко И.В., Прокопенко А.И., Сотников Д.Н., Яковенко С.М., Нечипорук А.В., Назимко В.В. Установление особенностей распределения отклонений оседаний земной поверхности при выполнении натурных измерений. - Проблеми гірського тиску. Збірник наукових праць №18/Під заг. ред. О.А. Мінаєва - Донецьк, ДонНТУ, 2010 – 38-56с.
4. Бугаєва Н.А., Назимко В.В. Особенности распределения стохастических отклонений оседаний земной поверхности при её подработке одиночной лавой. - Проблеми гірського тиску. Збірник наукових праць №16/Під заг. ред. О.А. Мінаєва - Донецьк, ДонНТУ, 2008 – 194-237с.
5. Бугаєва Н.А., Яремчук Е.В., Назимко В.В. Определение параметров деформаций земной поверхности по стохастическим мульдам оседания. - Проблеми гірського тиску. Збірник наукових праць №17/Під заг. ред. О.А. Мінаєва - Донецьк, ДонНТУ, 2009 – 192-225с.

О.Г. Аверіна, магістр кафедри маркшейдерії ДонДТУ

ВСТАНОВЛЕННЯ ЗАЛЕЖНОСТІ ВІДНОШЕННЯ ШИРИНИ ВИРОБНИЧОГО ПРОСТОРУ ДО ГЛИБИНІ ПІДРОБКИ НА ПАРАМЕТРИ ПРОЦЕСУ ЗРУШЕННЯ ЗЕМНОЇ ПОВЕРХНІ В ГІРНИЧО-ГЕОЛОГІЧНИХ УМОВАХ ШАХТИ XIX З'ЇЗДУ КПРСИ ДП «ЛУГАНСЬКВУГЛЛЯ»

При розробці родовищ корисних копалин під впливом порожнеч, що утворюються в гірському масиві, осушення порід відбувається зміна напруженого стану гірських масивів, порушення рівноваги, переміщення і деформація, що вміщають корисні копалини порід.

Зрушенння і деформація земної поверхні викликає деформацію розташованих на вугленосних територіях різних споруд і об'єктів, надають на них несприятливу дію.

Тривалі спостереження за підробкою об'єктів показали, що при дотриманні певних умов можлива підробка об'єктів без порушення їх нормальної експлуатації. Такими умовами є, наприклад: значна глибина розробки, спеціально розроблені раціональні способи виїмки корисних копалини, устаткування об'єктів перед підробкою спеціальними конструктивними заходами і ін.

Для вирішення вищезгаданих проблем необхідні знання закономірностей розвитку процесу зрушенння товщі гірських порід і земної поверхні, усестороннього вивчення проявів цього процесу, уміння проводити розрахунки величин зрушень і деформацій.[1]